

بررسی لغزش گرهی نبشی‌های دوتابی در برج‌های مشبک توربین بادی با استفاده از روش اجزای محدود

امیر ابراهیمی^۱، صالح یعقوبی^{۲*}

۱. دانشجوی کارشناسی ارشد مهندسی عمران (زلزله)، گروه مهندسی عمران، واحد بجنورد، دانشگاه آزاد اسلامی، بجنورد، ایران

۲*. استادیار مهندسی عمران (سازه)، گروه مهندسی عمران، واحد بجنورد، دانشگاه آزاد اسلامی، بجنورد، ایران

Saleh.yaghoobi@Bojnourdiau.ac.ir

تاریخ دریافت: ۹۹/۱/۲۰ تاریخ پذیرش: ۹۹/۶/۲۳

چکیده

با توجه به افزایش سرعت متوسط باد در جهان و کاهش و آلدگی سوخت‌های فسیلی، استفاده از توربین‌های بادی که در سازه‌های دارای انرژی‌های نو و تجدیدپذیر طبقه‌بندی می‌شوند، بسیار مقرن به صرفه خواهد بود. برج‌های توربین بادی می‌توانند به صورت بتی، فولادی و یا چند ماده‌ای اجرا شوند که در این میان، برج‌های مشبک فولادی می‌توانند سبب کاهش ۳۰ درصدی هزینه ساخت سازه توربین بادی شوند و بنابراین مدلی کامل و درست برای تحلیل این نوع سازه‌ها بسیار مهم و از نظر اقتصادی قابل توجه خواهد بود. برج‌های مشبک توربین بادی بیشتر با اتصالات پیچی ساخته و اجرا می‌شوند و به علل اجرایی، سوراخ پیچ از قطر پیچ بزرگ‌تر و همین سبب ایجاد لغزش گرهی می‌شود. لغزش گرهی سبب افزایش تغییر مکان برج‌های مشبک شده و عدم در نظر گرفتن آن سبب انهدام برج و فرض ضریب اطمینان سبب غیراقتصادی شدن آن خواهد شد. در این نوع سازه‌ها، بیشتر سازه از نبشی ساخته شده و نبشی‌های تک در اعضای ضربدری و مهاربندی و نبشی‌های دوتایی بیشتر در پایه‌های برج‌های مشبک به کاربرده می‌شوند. با این توضیح، در این مطالعه ۳ نمونه با مقطع نبشی تک برای درستی آزمایی و ۴ نمونه با مقطع نبشی دوتایی در نرم‌افزار Abaqus مدل و منحنی نیرو-تغییر مکان این نمونه‌ها تحت بارهای رفت و برگشتی به دست آورده شد. در این پژوهش داده‌های موجود در لغزش گرهی اتصالات پیچی را که شامل نبشی‌هایی با بالهای برابر است، توسعه بخشیده و نمودار نیرو-تغییر مکان اتصالات مختلف را ارائه و بر اساس آن، نسبت میرایی (η) آن‌ها را محاسبه و اثربخشی هر متغیر بر لغزش گرهی در نبشی‌های دوتایی بیان می‌شود. این پژوهش، برای طراحی سازه‌های مشبک توربین بادی مفید و در آن، رفتار سازه را به صورت دقیق‌تر در اختیار طراح قرار می‌دهد.

واژگان کلیدی: برج مشبک توربین بادی، لغزش گرهی، بارهای رفت و برگشتی، Abaqus، نسبت میرایی (η).

۱- مقدمه

تولید انرژی الکتریکی یکی از مهم‌ترین پروژه‌ها برای کاهش استفاده از سوخت‌های فسیلی است که سبب آلدگی محیط‌زیست شده و رو به اتمام است. هزینه سرمایه‌گذاری برای توربین‌های بادی تجهیزاتی هستند که انرژی پتانسیل باد را به انرژی مکانیکی و سپس به انرژی الکتریکی تبدیل می‌کنند.

۲- مدل سازی عددی و خروجی

۲-۱ کلیات

به طور کلی، یک اتصال پیچی، نیرو را به چهار صورت مختلف می‌تواند انتقال دهد: (۱) نیروی برشی در یک راستا، (۲) نیروی برشی در چند راستا (۳) نیروی برشی و نیروی محوری در یک راستا و (۴) نیروی برشی و نیروی محوری در چند راستا [۹]. معمول ترین حالت موجود در دکلهای انتقال برق در سیستم انتقال نیرو و برج‌های مشبک توربین بادی، نیروی برشی در یک راستاست؛ بنابراین، این نوع بارگذاری برای نمونه‌ها در این پژوهش نیز انتخاب شده است. با توجه به اینکه برای یک طراح، مقاومت و لغزش با تغییر شکل اتصال از رفتار یک اتصال پیچی پراهمیت بوده و بررسی می‌شود، در این پژوهش نیز، تغییر شکل اتصال پیچی بررسی شده و رفتار آن در اثر بارهای رفت و برگشتی مورد ارزیابی قرار می‌گیرد. لغزش گرهی نتیجه‌ی متغیرهای مختلفی است، از این متغیرها می‌توان به (۱) بارهای اعمال شده، (۲) طرز کار و ساخت ضعیف (ناهمتازی و خطای ساخت نامناسب)، (۳) ویژگی‌های پیچ‌ها، (۴) تعداد پیچ‌ها، (۵) گام پیچ‌ها، (۶) قطر پیچ‌ها، (۷) چیدمان قرارگیری پیچ‌ها، (۸) طول پیچ‌ها، (۹) ویژگی‌های نبشی، (۱۰) نسبت مساحت خالص مؤثر نبشی (A_{nc}) و مساحت خالص مؤثر نبشی فولادی (A_{ng}) و مساحت کل نبشی (A_g)، (۱۱) نسبت مساحت خالص مؤثر برشی نبشی (A_s)، (۱۲) ویژگی‌های سطحی که بر آن عملیات نصب صورت می‌پذیرد، (۱۳) روش سفت کردن پیچ‌ها، (۱۴) فاصله از لبه و فاصله از انتهای، (۱۵) نوع بار کششی و فشاری وارد شده و (۱۶) برش یک جهته یا چند جهته بودن اشاره نمود [۱۳]. در آزمایش‌ها و مدل‌سازی‌های انجام شده، متغیر (۱) زمانی که متغیر (۲) ثابت فرض شده بود، اندازه‌گیری شد؛ متغیر (۳) با استفاده نمودن از پیچ‌های رده ۸.۸ بر اساس استاندارد DIN، ثابت در نظر گرفته شد؛ متغیر (۴) به صورت تصادفی و مطابق با فرض‌های اجرایی انتخاب شد؛ متغیر (۵) ثابت در نظر گرفته شد، متغیر (۶) برای مقاطع مختلف نبشی به صورت منطقی و با نگاه مقایسه‌ای تغییر داده شد. برای آزمایش‌های انجام شده، به تناسب طراحی انجام شده، پیچ از قطر ۱۲، ۱۶، ۲۰ و ۲۲ استفاده شده است.

ساخت یک نیروگاه بادی و اتصال آن به شبکه انتقال نیرو ۷۵ تا ۸۵ درصد و هزینه ساخت سازه آن، ۱۵ تا ۲۵ درصد هزینه‌کل است [۱]. سازه‌های مشبک توربین بادی بیشتر با اتصالات پیچی ساخته و اجرا می‌شوند؛ در عین حال، با توجه به سختی کمتر و اتصالات بیشتر این برج‌ها، تغییر مکان بیشینه بیشتری نسبت به سایر برج‌ها دارند [۲]. کاهش قابل توجه وزن فولاد مصرفی، استفاده از این برج‌ها را اقتصادی تر نموده [۳]؛ تا جایی که می‌تواند ۲۰ تا ۳۰ درصد هزینه تمام شده کل پروژه را کاهش دهد [۴]. سطح مقطع اجزای برج‌های مشبک بیشتر به صورت نبشی هستند و به صورت خرپایی عمل می‌نماید، از طرفی، این سازه‌ها را می‌توان در محل پروژه، اجرا و نصب نمود که سبب کاهش هزینه بیشتر نیز خواهد شد [۴]. مطالعاتی توسط Al-Bermani و Kitipornchai [۵-۶] و همکاران [۷] انجام پذیرفت، لیکن تغییر شکل برج که توسط روش‌های عددی پیش‌بینی شده بود، با نتایج آزمایش هماهنگی نداشت و این اختلاف، ناشی از آثار لغزش گرهی بود. سپس، آزمایش تمام‌مقیاس یک دکل انتقال برق را با نتایج موجود از تحلیل کلاسیک مقایسه نمودند. آنان متوجه شدند که تنش‌های ثانویه که از آثار گرهی به وجود می‌آیند، به قدری بزرگ است که سبب گسیختگی اعضا، تحت ترکیب بارهای طراحی می‌شود. بر اساس پژوهش Ungkurapinan [۹] تفاوت بین نتایج آزمایشگاهی و راه حل‌های عددی برای تحلیل برج، با ضریب اطمینان در طراحی اتصالات اعضا جبران می‌شود، لیکن آثار رفتار رفت و برگشتی و سایر تغییر‌شکل‌ها با استفاده از ضریب اطمینان جبران شده‌اند. همچنین، Ahmed و همکاران [۱۰] نتیجه گرفتند که لغزش گرهی تأثیر زیادی در رفتار برج خواهد داشت، زیرا سبب کاهش ظرفیت باربری و افزایش تغییر مکان تحت بارهای موجود می‌شود. در پژوهش دیگری، یعقوبی و شوستری [۱۱-۱۲] مدلی بر اساس نمونه‌های آزمایشگاهی و عددی ارائه دادند که با توجه به خروج از مرکزیت بار در یک برج مشبک در اعضای تک نبشی، آثار لغزش گرهی قابل رابطه‌سازی است.

صفحه‌ای با این ضخامت نسبت به نبشی موجود بسیار ناچیز و قابل چشم‌پوشی است و این کار سبب عدم به وجود آمدن کمانش در نمونه‌ها نیز می‌شود، لغزش گرهی به صورت خالص به دست می‌آید(شکل ۲). الگوی بارگذاری، به صورت رفت و برگشتی انجام شد به گونه‌ای است که بار تا انتهای لازمه به صورت کششی اعمال شده، سپس بار تغییر جهت داده و تا صفر و سپس تا تقریباً همان میزان و به صورت فشاری اعمال می‌شود. پس، این آزمایش‌ها برای درستی آزمایی مدل‌ها در نرم‌افزار Abaqus انجام و سایر نمونه‌ها از نوع نبشی دوتایی نیز مدل‌سازی شد. همچنین بر اساس داده‌ها و آزمایش‌های کشش ساده یعقوبی و شوستری [11-12]، نبشی بر اساس استاندارد DIN17100 از فولاد ST37 و پیچ از رده 8.8 را در نظر گرفته شد.

شکل ۲. بخش‌های مختلف آزمایش‌های انجام شده [12]

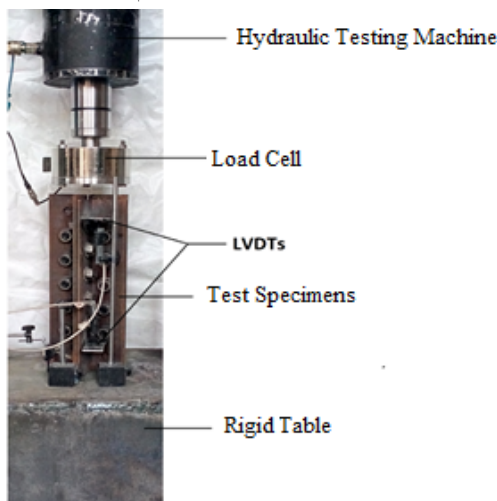


Fig. 2. Diferent Parts of Test set up

۱-۴-۲-ویژگی‌های فولاد در نمونه‌های آزمایش
طراحی برج‌های توربین بادی به صورت الاستیک انجام می‌شود [17] و ویژگی‌های مواد شامل فولاد نبشی، ورق فولادی و پیچ‌ها به صورت خطی در نرم‌افزار تعریف می‌شود. بر اساس نتایج آزمایش روی نمونه‌های نبشی و پیچ، مدول الاستیسیته، مقاومت تسلیم، مقاومت کششی بر اساس استاندارد DIN17100 فولادی مطابق ST37 و برای پیچ‌ها مطابق رده 8.8 تعریف می‌شود. در این بخش، مدول الاستیسیته نبشی برابر 200GPa، تنش تسلیم آن برابر 240MPa، برای پیچ، مدول الاستیسیته برابر 200GPa و تنش

متغیر (۷) بر اساس ضوابط آینه‌نامه AISC [14] طراحی و در نظر گرفته شد، متغیر (۸) برای آزمایش‌های انجام شده و متغیر (۹) بر اساس ضوابط CAN/CSA S6-06 [15] ثابت فرض شد، در آزمایش‌ها از نبشی‌های با بال مساوی L60*6، L40*4، L80*8 و L100*12 استفاده شد. متغیرهای (۱۰) و (۱۱) تغییر داده شد به گونه‌ای که بتوان تأثیر آن‌ها را به عنوان متغیری مستقل بررسی و ارزیابی نمود؛ متغیر (۱۲) را با استفاده کردن از نبشی‌های صاف و ماسه پاشی شده، ثابت در نظر گرفته AISC شد، متغیر (۱۳) بر اساس ضوابط مندرج در آینه‌نامه [16] لنگر پیچشی لازم اعمال شد؛ بنابراین، در هر آزمایش با توجه به معلوم بودن مقدار لنگر پیچشی لازم، ثابت فرض شد. متغیر (۱۴) بر اساس کمترین‌ها و بیشترین‌های آینه‌نامه AISC [16] طراحی و ساخته شد، بارگذاری نیز (متغیر ۱۵ و ۱۶)، به صورت یک‌جهته در گوشه نبشی اعمال شد [12]. به صورت کلی، هرچند اعضا بر اساس ضوابط طراحی و بر مبنای تحلیل فرکانسی به دست می‌آیند، ولی بیشتر اعضا مهاربندی از نبشی‌های تک و مقطع پایه‌ها و سایر اعضا از نبشی‌های دوتایی و چهارتایی استفاده می‌شود. در شکل (۱) مقاطع مختلفی که در اعضای برج‌های توربین بادی مشبك استفاده می‌شود، نمایش داده شده است.

شکل ۱. مقاطع مختلف اعضای برج‌های توربین بادی مشبك [12]

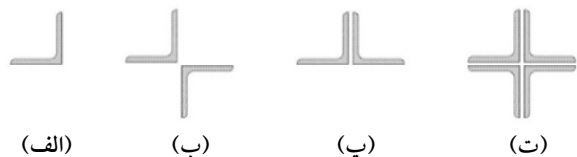


Fig. 1. Different types of wind turbine lattice tower sections [12]

۱-۲- نمونه‌های مدل‌سازی شده در Abaqus
مدل‌سازی عددی بر اساس آزمایش‌های یعقوبی و شوستری [11] انجام شد، برای توضیح بیشتر، صفحه‌ای فولادی به ضخامت ۵۰ میلی‌متر روی میز فلزی صلب و در گوشه آن جوش داده شد به گونه‌ای که نبشی‌ها بتوانند به راحتی به آن پیچ شده و نیرو به گوشه نبشی و به صورت دقیق اعمال شود. با توجه به این که هدف آزمایش، به دست آوردن روشی برای ارزیابی آثار لغزش گرهی بر اتصالات برج‌های مشبك است، نبشی‌ها به صفحه‌ای به ضخامت ۵۰ میلی‌متر پیچ شدند، با توجه به این که آثار تغییر شکل

standard finite sliding و پیچ و صفحه ۵۰ میلیمتری به صورت standard surface to surface و برای هر دو حالت، روش discretization method در نرم افزار در نظر گرفته شد. سپس، در Interaction Module/Create Interaction Property/Contact منوی رفته و به عنوان "Hard" Contact گزینه Normal Behavior گزینه Tanjential Behavior گزینه Penalty انتخاب شده و ضریب اصطکاک(Friction Coeff) برابر ۰/۲۷ تعریف می شود. شایان ذکر است، این مقدار با سعی و خطا به دست آمده و بر روی ضریب اصطکاک بین فولاد آزمایشی انجام شده است.

۲-۵ هندسه و ابعاد نمونه ها

نمونه های آزمایشگاهی و مدل سازی شده از نبیشی با اندازه های مختلف ساخته شده که جزئیات این نمونه ها از نظر اندازه نبیشی، چیدمان، اندازه و تعداد پیچ ها در شکل (۳) و جدول (۱) آمده است. در این نمونه ها، از بین همه تغییر شکل ها، لغزش گرهی اهمیت بسیار بیشتری دارد زیرا در بارهای کوچک اتفاق می افتد [13] و در نظر گرفتن آثار آن، بسیار ضروری است.

۴-۶ خروجی

نmodar نیرو - تغییر مکان نمونه های آزمایشگاهی به صورت کلی در شکل (۴) آورده شده است. این نmodarها به صورت کلی شامل ۹ نقطه است که مقادیر متناظر با هر نقطه در جدول های (۲) تا (۴) و در شکل های (۵) و (۶) آورده شده است.

۴-۷ تحلیل حاسوبی

برای مدل سازی نبیشی ها از جزء آجری سه بعدی خطی ۸ گرهی (C3D8) و برای صفحه ۵۰ میلیمتری و پیچ ها از جزء آجری سه بعدی خطی ۸ گرهی با نقاط انتگرال گیری کاهش یافته

شکل ۳. هندسه کلی نمونه های مورد آزمایش

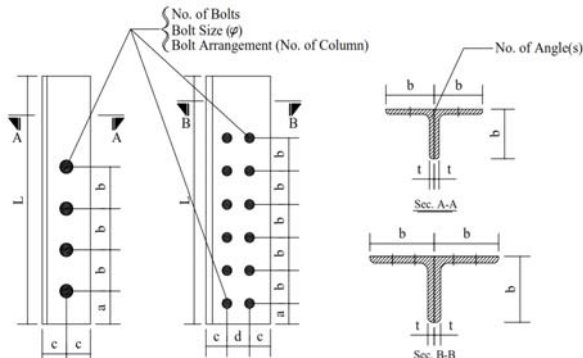


Fig. 3. Details of test specimens

تسلیم آن برابر ۶۴۰ MPa تعریف می شود. همچنین، ضریب پواسون در نرم افزار برابر با ۰.۳ برای فولاد در نظر گرفته می شود.

۴-۸ نوع المان ها و چگونگی مشبندی

نمونه های آزمایش، روی میزی فولادی که دارای دو ورق بالایی و پایینی به ضخامت ۵۰ میلی متر و ورق سخت کننده است، قرار می گیرند، سپس ورق ۵۰ میلی متر که نبیشی ها توسط پیچ به آن اتصال داده شده اند به آن به صورت نفوذی جوش می شود. از این رو، با تقریبی بسیار خوب می توان میز فولادی را به عنوان یک بستر صلب در نرم افزار تعریف نمود و با توجه به جوش نفوذی ورق فولادی ۵۰ میلی متر به کف، فرض می شود که ورق فولادی به صورت گیردار به کف اتصال دارد ($U_1 = U_2 = U_3 = UR_1 = UR_2 = UR_3 = 0$). همچنین بارگذاری در نرم افزار مانند نمونه های آزمایشگاهی وارد شده است، یعنی بار به گوشش نبیشی در نمونه های تک و در محل مرکز تقارن در نمونه های دوتایی اعمال می شود. در نرم افزار روی سطح فوقانی، با استفاده از زیر شاخه Constraint/MPC Beam شکل کل آن بخش، به نقطه مرجع داده به گونه ای تغییر شکل کل بخشی که در زیر صفحه فولادی قرار گرفته، به یک نقطه مرجع اختصاص می باید و کافی است بار را به این نقطه اختصاص داد. با این توضیحات، در نرم افزار زیر شاخه Load Module/Create Boundary Condition/Mechanical انتخاب شده و تغییر مکان در راستای بارگذاری آزمایشگاهی به صورت رفت و برگشتی تعریف می شود. بدینهی است میزان بزرگی تغییر مکان در نرم افزار بایستی اعمال شود، در حالی که در آزمایشگاه، نیرو قرائت می شود؛ از این رو، می توان با سعی و خطا نیروی قرائت شده در آزمایشگاه را به عنوان تغییر مکان در نرم افزار اعمال نمود. برای تعریف میزان لنگر پیچشی (پیش تندیگی) وارد بر پیچ ها را، در نرم افزار Load Module/Create Load/Mechanical (Bolt Load) به منوی رفته و میزان لنگر پیش تندیگی تعريف می شود. این لنگر مطابق آیین نامه AISI [14] در نظر گرفته و در نرم افزار اعمال شده است.

اندر کنش بین صفحه فولادی ۵۰ میلی متری و نبیشی که توسط پیچ به آن متصل شده است و پیچ ها و نبیشی به گونه ای است که پیچ ها داخل نبیشی یا صفحه فولادی نشده و تنها آثار لغزش در آنها مشاهده می شود؛ برای این منظور، اندر کنش پیچ و نبیشی به صورت

و $-z$ را در نظر می گیرد. جزء C3D8 دارای ۸ نقطه انتگرال گیری و جزء C3D8R تنها دارای یک نقطه انتگرال گیری است. به منظور بررسی و ارزیابی همگرایی و درستی مدل سازی، تحلیل همگرایی برای یک مدل گزارش شده است و نتایج نشان می دهد که مدل با مش بندی مناسب همگرا خواهد شد؛ علاوه بر این، سعی شده است که از مش های تقریباً مکعبی استفاده شود تا خطای عددی حاصل، کمتر و اندازه مش بندی مناسب باشد تا زمان تحلیل نیز تا حد ممکن کوتاه و پاسخ ها از دقت لازم برخوردار باشند، به عنوان نمونه، برای نمونه شماره ۵

شکل ۴. نمودار کلی و ایدهآل سازی شده نیرو-تغییر مکان گرهی نتایج آزمایش [11-12]

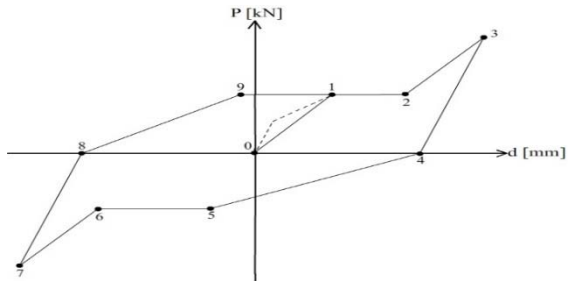


Fig. 4. General diagram of idealized load vs. deformation for joints.

(C3D8R) استفاده شده است. این دو جزء با ۶ درجه آزادی در هر گره تعریف شده که تغییر مکان و دوران در راستای x -

جدول ۱. فهرست و جزئیات نمونه های مدل سازی شده

No.	Angle (b^*b^*t)			No.	No. Column	Bolts	End/Edge distance [mm]				
	No. Angle(s)	b [mm]	t [mm]			Size [mm]	L	a	b	c	d
1	1	40	4	2	1	16	200	40	50	20	---
2	1	80	8	5	1	20	440	50	70	40	---
3	2	100	10	6	1	22	525	50	70	50	---
4	2	40	4	2	1	16	200	40	50	20	---
5	2	80	8	5	1	20	440	50	70	40	---
6	2	120	12	16	2	16	300	25	40	26	28

Table 1. Details of test specimens

جدول ۲. مقادیر نیرو-تغییر مکان گرهی در نمونه های ۱ تا ۳

شماره نمونه	1(L40*4-2Bolt16)		2(L80*8-5Bolt20)		3(L100*10-6Bolt22)		
	شماره نقطه	Force [kN]	Displacement [mm]	Force [kN]	Displacement [mm]	Force [kN]	Displacement [mm]
0	0.000	0.000	0.000	0.000	0.000	0.000	0.000
1	15.022	0.689	50.023	0.684	66.646	0.659	
2	15.022	1.346	50.023	1.195	66.646	1.196	
3	24.669	1.800	108.724	1.982	133.870	1.890	
4	0.000	1.090	0.000	1.063	0.000	1.056	
5	-17.946	0.173	-63.002	0.109	-89.270	0.050	
6	-17.946	-1.435	-63.002	-1.231	-89.270	-1.424	
7	-25.830	-1.716	-129.358	-1.905	-146.735	-1.870	
8	0.000	-1.281	0.000	-1.264	0.000	-1.336	
9	15.022	-0.167	50.023	-0.167	66.646	-0.252	

Table 2. Load-displacement value in specimens No. 1 to 3.

جدول ۳. مقادیر نیرو-تغییر مکان گرهی در نمونه های ۴ تا ۶

شماره نمونه	4(2L40x4-2Bolt16)		5(2L80x8-5Bolt20)		6(2L100x10-6Bolt22)		
	شماره نقطه	Force [kN]	Displacement [mm]	Force [kN]	Displacement [mm]	Force [kN]	Displacement [mm]
0	0.000	0.000	0.000	0.000	0.000	0.000	0.000
1	0.687	29.437	96.402	0.670	125.481	0.760	
2	1.537	30.378	94.900	1.445	124.572	1.381	
3	2.588	64.610	181.179	2.131	267.370	2.306	
4	1.487	0.000	0.000	1.103	0.000	1.107	
5	0.264	-34.251	-106.252	0.161	-138.092	-0.117	
6	-1.561	-33.414	-108.775	-1.425	-135.772	-1.354	
7	-2.351	-62.500	-216.705	-2.231	-305.247	-2.270	
8	-1.591	0.000	0.000	-1.123	0.000	-0.981	
9	-0.188	31.892	98.322	-0.160	127.340	0.058	

Table 3. Load-displacement value in specimens No. 4 to 6.

جدول ۴. مقادیر نیرو-تغییرمکان گرهی در نمونه‌های ۷

شماره نمونه	7(2L120x12-16Bolt16)	
شماره نقطه	Force [kN]	Displacement [mm]
0	0.000	0.000
1	97.929	0.694
2	95.659	1.466
3	256.485	2.329
4	0.000	1.250
5	-110.152	-0.049
6	-110.541	-1.757
7	-296.989	-2.907
8	0.000	-1.542
9	104.271	0.094

Table 4. Load-displacement value in specimen No. 7.

مشبندی به گونه‌ای انجام می‌شود که مش در محل سوراخ‌ها، ریزتر باشد تا با این راهکار، پاسخ‌های مناسب‌تری را می‌توان از نرمافزار دریافت نمود. در شکل (۷) برای نمونه ۵ تحلیل حساسیت انجام‌شده و نمایش داده شده است.

شکل ۷. تحلیل حساسیت نمونه شماره ۵ برای بررسی همگرایی

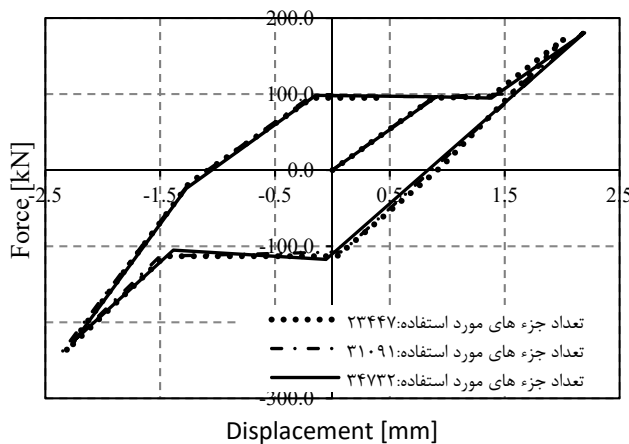


Fig. 7. Sensitivity analysis of specimen no. 5.

۲-۴-۲ تفسیر خروجی نرم افزار

بر اساس نمودارهای نیرو-تغییرمکان نمونه‌های آزمایش، سختی الاستیک قبل از لغزش (بین نقاط ۰ و ۱ در شکل ۴) کوچک ترین بخش از نمودار نیرو-تغییرمکان است که به علت نیروی اصطکاک، بین پیچی که توسط لنگر پیچشی مطابق آیین نامه پیش تنبیده شده است و نبشی به وجود می‌آید. سختی الاستیک قبل از لغزش بستگی به تعداد پیچهای اتصال، قطر پیچ، اندازه و ضخامت نبشی و مساحت مؤثر مقطع دارد.

لغزش گرهی (بین نقاط ۱ و ۲ در شکل ۴) به عنوان اولین تغییر شکل هنگامی که بار تقریباً ثابت است اطلاق می‌شود که

شکل ۵. نمودار نیرو-تغییرمکان گرهی برای نمونه‌های شماره ۱ تا ۳

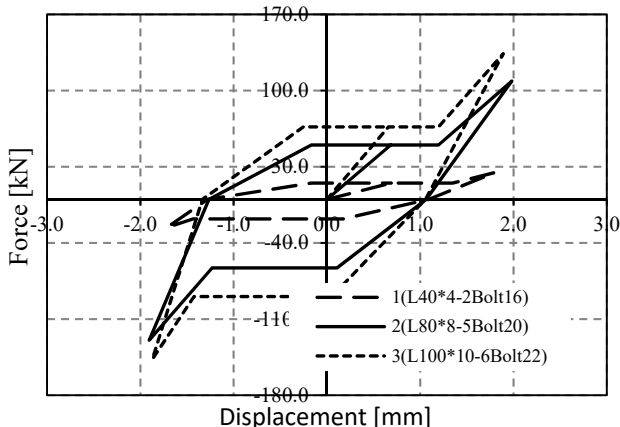


Fig 5. Load vs. total joint deformation for specimens' No. 1 to 3.

شکل ۶. نمودار نیرو-تغییرمکان گرهی برای نمونه‌های شماره ۴ تا ۷

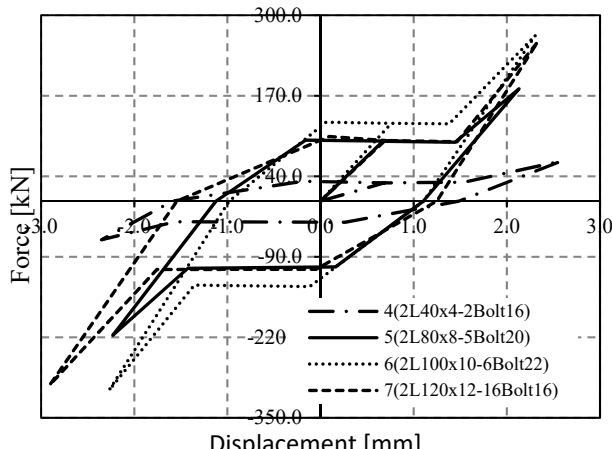


Fig 5. Load vs. total joint deformation for specimens' No. 4 to 7.

۳۱۰۹۱ و ۲۳۴۴۷ تعداد مش ها برابر ۲L80*80*8-5Bolt20 و ۳۴۷۳۲ در نظر گرفته شده است. همچنین، محل سوراخ‌ها در نبشی بسیار مهم و در نتایج تأثیر زیادی خواهد داشت، پس

و نیروی این اعضا زیاد است، در نظر گرفتن آثار آن بسیار مهم است زیرا مشخص می شود که لغزش گرهی در طی بارهای سرویس اتفاق می افتد [13]. بخش الاستیک انتقال بار که توسط پیچ های اصطکاکی پس از لغزش اتفاق می افتد (بین نقاط 2 و 3 در شکل ۴)، نتایج نشان می دهد شبیه این بخش نزدیک به شبیه سختی الاستیک قبل از لغزش است. بخش باربرداری نمودار (بین نقاط 3 و 4 در شکل ۴) در نسبت با سختی الاستیک قبل از لغزش است. نسبت شبیه این بخش به اولین شبیه در ناحیه فشاری (بین نقاط 4 و 5 در شکل ۴) به صورت تقریبی برابر با $1/35$ است که این عدد نسبت به نمونه های تک نیشی کمتر است. ناحیه فشاری از نقطه 4 در شکل (۵) شروع شده و شامل ۴ بخش است که متناسب با ۴ بخش در ناحیه کششی است. در شکل (۸) رفتار نیشی های تک و دوتایی مقایسه شده اند.

در سختی های کوچک اتفاق می افتد [13] و بستگی به تعداد پیچ های اتصال، قطر پیچ، اندازه و ضخامت نیشی و مساحت خالص مقطع دارد. همچنین، اگرچه Ungkurapinan و همکاران [13] به این نتیجه رسیدند که بیشینه تغییر مکان گرهی در زمان لغزش به $3/2$ میلی متر (اختلاف بیشینه در اندازه سوراخ و قطر پیچ) و $1/6$ میلی متر (اختلاف نرمال در اندازه سوراخ و قطر پیچ) نمی رسد، لیکن بر اساس آزمایش های انجام شده در این پژوهش، اگر ظرفیت اتصال بیشتر از ظرفیت مقطع باشد، لغزش گرهی به حدود 2 میلی متر خواهد رسید که 2 میلی متر اندازه استاندارد در اختلاف اندازه سوراخ و قطر پیچ های کوچک تر از 24 میلی متر است [18]. نتایج آزمایش نشان می دهد که لغزش گرهی در بین بارهای 30 کیلو نیوتون تا 125 کیلو نیوتون اتفاق می افتد که نسبت به نمونه های مشابه تک نیشی نیروی لغزش نزدیک به دو برابر شده است، با توجه به این که نمونه های دوتایی در پایه های اصلی توربین بادی بکار می رود

شکل ۸ مقایسه نیشی های دوتایی و تک از نظر رفتاری

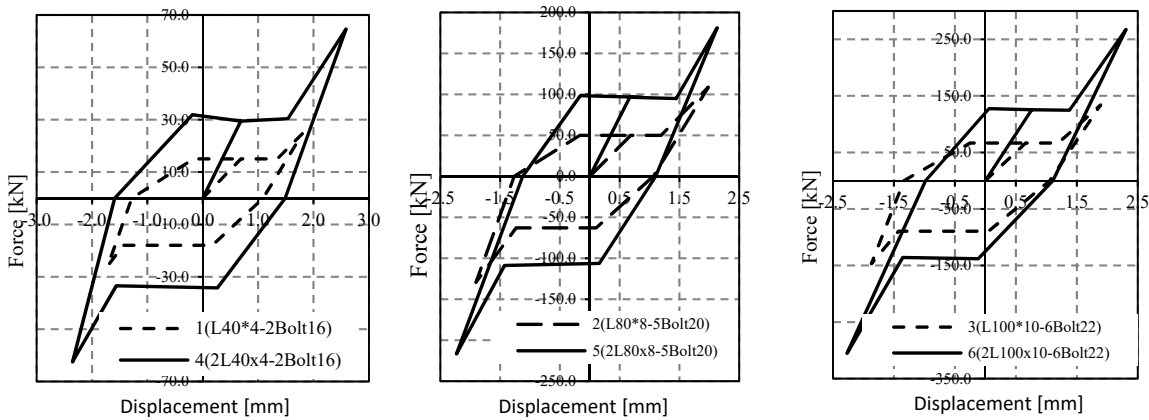


Fig. 8. Comparison of Load vs total joint deformation for Specimens.

آزمایشگاهی نوشته شده است.

۲-۵- محاسبه نسبت میرایی ویسکوز (γ) برای اتصالات مدلسازی شده

بر اساس نمودارهای نیرو-تغییر مکان، نسبت میرایی ویسکوز (γ) برای اتصالات مورد آزمایش، قابل محاسبه است. نسبت $\frac{E_D}{4\pi E_S}$ میرایی ویسکوز (γ) را می توان بر اساس فرمول بدست

آورد که در این فرمول E_s انرژی استاتیکی و E_D سطح کل نمودار نیرو-تغییر مکان است. با توجه به نمودارهای نیرو-

۳-۴-۲- درستی آزمایش نمونه های نرم افزار با نمونه های مشابه آزمایشگاهی

مدل سازی در نرم افزار باید با نتایج آزمایش همخوانی کافی داشته باشد. برای بررسی هماهنگی نمودارهای نیرو-تغییر مکان آزمایشگاهی و مدل سازی شده در Abaqus، دو نمودار مشابه از هر نمونه را روی یکدیگر قرار داده می شود. مقایسه نمودارهای نیرو-تغییر مکان آزمایشگاهی و مدل سازی شده در Abaqus در شکل های (۹) آورده شده است. برای توضیح بیشتر در این نمودارها، عبارت Experiment برای نمونه های

طول مدلسازی شده کوتاه است و با مدل نمودن کل عضو، می‌توان دو سر عضو را به صورت فنری با این میرایی در نظر گرفت. همچنین، نسبت میرایی در حالت نبشی دوتایی و تک تغییر زیادی با یکدیگر ندارد و با افزایش تعداد پیچ و کاهش قطر آن، نسبت میرایی اتصال افزایش خواهد یافت.

شکل ۹. مقایسه نمودارهای نیرو-تغییرمکان آزمایشگاهی و Abaqus برای نمونه‌های ۱ تا ۳.

تغییرمکان، مقادیر نسبت میرایی ویسکوز (ζ) محاسبه و در جدول (۵) درج شده است که بر اساس آن، نسبت میرایی ویسکوز (ζ) برای این اتصالات با در نظر گرفتن آثار لغزش گرهی، به صورت متوسط و تقریبی برابر با $42/5$ درصد است. گفتنی است این ضریب میرایی ویسکوز برای این اتصالات با

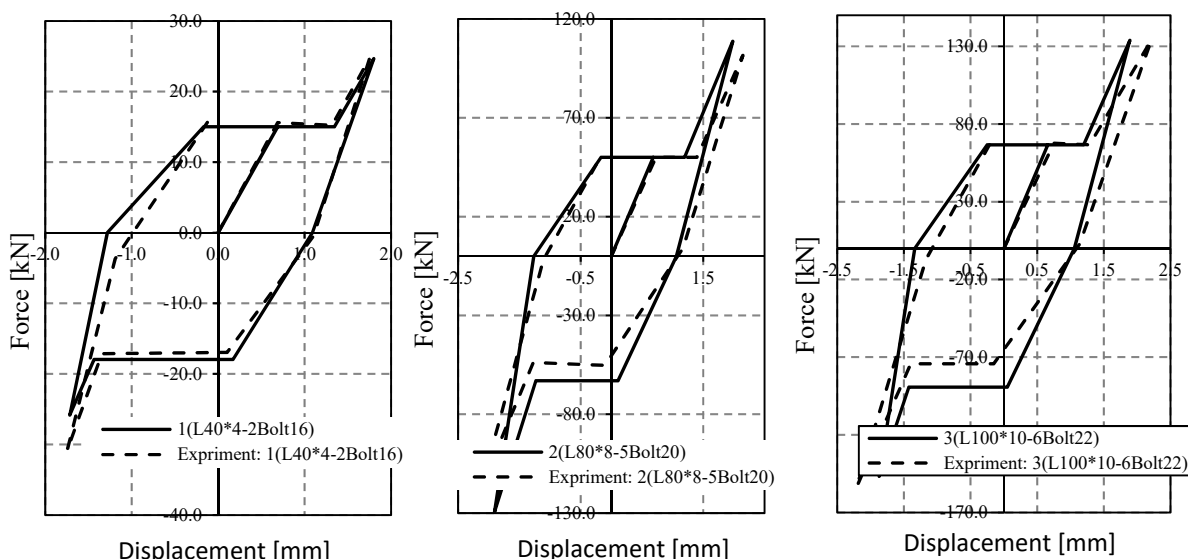


Fig.9. Comparison of the experimental results vs. the results obtained from Abaqus for specimens No. 1 to 3.

جدول ۵. محاسبه نسبت میرایی ویسکوز (ζ)

شماره نمونه	E_D	E_s	نسبت میرایی ویسکوز (ζ)
1(L40*4-2Bolt16)	61.395	11.358	0.430
2(L80*8-5Bolt20)	199.608	40.774	0.390
3(L100*10-6Bolt22)	274.148	54.551	0.400
4(2L40x4-2Bolt16)	171.524	31.111	0.439
5(2L80x8-5Bolt20)	413.165	77.468	0.424
6(2L100x10-6Bolt22)	475.310	102.425	0.369
7(2L120x12-16Bolt16)	481.978	78.474	0.489

Table 5. Calculation of viscous damping ratio (ζ).

۳- نتایج نشان می‌دهد لغزش گرهی در طول بارهای سرویس

اتفاق می‌افتد و قطر پیچ مهم‌ترین پارامتر برای پیش‌بینی رفتار گره است.

۴- نسبت میرایی ویسکوز (ζ) برای اتصالات تک و دوتایی نبشی تقریباً با هم برابرست و می‌توان آن را $42/5$ درصد فرض نمود. این نسبت با افزایش تعداد و کاهش قطر پیچ افزایش می‌یابد.

۴- مراجع

- [1] Şahin AD. Progress and recent trends in wind energy. *Progress in energy and combustion science*. 2004 Jan 1; 30(5):501-43.
- [2] Weitkamp R, Hinz U, Schäfer S, inventors; Envion SE, assignee. *Tower for a wind power*

۳- نتایج

در این پژوهش دستاوردهای گوناگونی حاصل شد که از آن میان، می‌توان بر نتایج زیر تأکید کرد.

۱- در نظر گرفتن لغزش گرهی در رفتار برج مشبك، سختی برج کاهش خواهد یافت و باعث افزایش در تغییر شکل‌های برج می‌شود.

۲- رفتار گره تحت بارگذاری چرخه‌ای به تعداد پیچ، قطر پیچ، سطح مقطع پیچ، ضخامت نبشی و سطح مقطع مؤثر بستگی دارد.

- [12] Yaghoobi S, Shooshtari A. *Joint Slip Formulation Based on Experimental Results in Wind Turbine Lattice Towers*. Journal of Structural Engineering. 2018 Jun 1; 144(6):04018058.
- [13] Ungkurapinan N, Chandrasekharan SD, Rajapakse RK, Yue SB. *Joint slip in steel electric transmission towers*. Engineering Structures. 2003 May 1; 25(6):779-88.
- [14] AISC 341-10. Seismic provisions for structural steel buildings. American Institute of Steel Construction. 2010.
- [15] Canadian Highway Bridge Design Code (CHBDC). Supplement# 1 to CAN/CSA-S6-06, Canadian Highway Bridge Design Code (CHBDC). CSA S6S1-10. 2010.
- [16] Bolts AH. Shop install high-strength bolts according to RCSC's "Specification for Structural Joints Using ASTM A 325 or A 490 Bolts" for type of bolt and type of joint specified. 1. Joint Type: Snug tightened.
- [17] Lloyd G. *Rules and Guidelines IV, Industrial Services 1, Guideline for the Certification of Wind Turbines*. Germanischer Lloyd Industrial Services GmbH, Hamburg, Germany. 2003.
- [18] Kulak GL, Fisher JW, Struik JH. *Guide to Design Criteria for Bolted and Riveted Joints* Second Edition.
- station. United States patent US 7,276,808. 2007 Oct 2.
- [3] Muskulus M. *The full-height lattice tower concept*. Energy Procedia. 2012 Jan 1; 24:371-7.
- [4] Gencturk B, Attar A, Tort C. *Optimal design of lattice wind turbine towers*. In 15th World Conference on Earthquake Engineering 2012 Sep (pp. 24-28).
- [5] Al-Bermani FG, Kitipornchai S. *Nonlinear analysis of transmission towers*. Engineering Structures. 1992 Jan 1; 14(3):139-51.
- [6] Al-Bermani FG, Kitipornchai S. *Elastoplastic nonlinear analysis of flexibly jointed space frames*. Journal of Structural Engineering. 1992 Jan; 118(1):108-27.
- [7] Albermani F, Kitipornchai S, Chan RW. *Failure analysis of transmission towers*. Engineering Failure Analysis. 2009 Sep 1; 16(6):1922-8.
- [8] Knight GM, Santhakumar AR. *Joint effects on behavior of transmission towers*. Journal of Structural Engineering. 1993 Mar; 119(3):698-712.
- [9] Ungkurapinan N. *A study of joint slip in galvanized bolted angle connections*. PhD diss., University of Manitoba, 2000.
- [10] Ahmed KI, Rajapakse RK, Gadala MS. *Influence of bolted-joint slippage on the response of transmission towers subjected to frost-heave*. Advances in Structural Engineering. 2009 Feb; 12(1):1-7.
- [11] Yaghoobi S, Shooshtari A. *Joint slip investigation based on finite element modelling verified by experimental results on wind turbine lattice towers*. Frontiers of Structural and Civil Engineering. 2018 Sep 1; 12(3):341-51.

Joint Slippage Investigation of double angle on Wind Turbine Lattice Towers Using Finite Element Modelling

Amir Ebrahimi¹, Saleh Yaghoobi²

1 MS student, Department of Civil Engineering, Bojnourd Branch, Islamic Azad University, Bojnourd, Iran.

2 Assistant Professor, Department of Civil Engineering, Bojnourd Branch, Islamic Azad University, Bojnourd, Iran.

Saleh.yaghoobi@Bojnourdiau.ac.ir

Abstract

Although fossil fuel resources are declining, their use also pollutes the environment. Also, due to the increase in the average wind speed in the world, the use of wind turbines, which are classified in structures with new and renewable energy, will be very cost-effective. Wind turbine towers can be made of concrete, steel, conical, lattice, wood, or multi material. Given that the investment cost to build a wind farm and connect it to the transmission network is 75 to 85 percent, and the cost of building the structure is 15 to 25 percent of the total cost. Steel lattice towers can reduce the cost of building a wind turbine structure by 30 percent and therefore, a complete and correct model for analyzing these types of structures will be very important and economically noteworthy. Wind turbine lattice towers are usually made and executed with bolt connections. In this case, the number of bolts is very high, which increases the need for cyclical and reciprocal loads. Joint slip in these structures refers to the relative displacement of bolt connection under the influence of force. Therefore, creating a joint slip will be inevitable due to the ease and speed of execution in which the bolt hole is made of a larger bolt diameter. Joint slip increase the displacement of lattice towers So much so that the maximum displacement of the tower is twice as high as that of static methods. And not considering it will destroy the tower and assuming the reliability factor will make it uneconomical. In this type of structure, the tower is often made of angle and single angles are used in cross members and bracing and double angles are mostly used in the bases of lattice towers. With this explanation, in this study, the force curve of the displacement of the three samples with single angle section in the laboratory and four samples with double angle section in Abaqus software was modeled and were affected by reciprocating loads and then the results of numerical modeling were validated with laboratory samples. In the models modeled in the software, after sensitivity analysis, the type and size of the mesh is precisely minimized the resulting error. In this investigation available data in joint slip develops bolt connections which include angles with equal leg. It offers force-displacement curve of different connections for double angles and their connections damping ratio are calculated likewise and the effectiveness of each variable on the slip of the node is expressed in double angles. The results show that joint slip occurs during service loads and this effect depends on the number of bolt, the diameter of the bolt, the bolt cross-sectional area, the thickness of the angle and the effective cross-sectional area among these, screw diameter is the most important variable for predicting joint behavior. Also, the viscosity damping ratio for single and double angle connections is almost equal and can be assumed to be 42.5. This ratio increases with increasing number and decreasing bolt diameter. This investigation is beneficial for designing wind turbine lattice towers and in it, provides structure behavior to the designer more accurately.

Keyword: Wind Turbine Lattice Tower, Joint Slippage, cyclic loading, Abaqus, Damping Ration (ζ).